

ВОЗМУЩЕНИЕ МАГНИТНОГО ПОЛЯ
НЕСТАЦИОНАРНЫМ ИСТОЧНИКОМ ГАММА-КВАНТОВ

Г. Г. Виленская, Ю. А. Медведев, Г. В. Федорович,
Б. М. Степанов

(Москва)

На основе результатов численного интегрирования системы уравнений Максвелла, описывающей пространственно-временные изменения полей, исследовались возмущения магнитного поля вблизи нестационарного источника гамма-квантов, а также радиоизлучение, связанное с этими возмущениями.

1. Физическая картина явлений, приводящих к возмущению магнитного поля нестационарным источником гамма-квантов, и качественные закономерности, характеризующие эти возмущения, и их зависимость от исходных параметров в настоящее время, по-видимому, могут считаться выясненными в работах [1, 2]. С количественной стороны этот вопрос менее изучен. Так, в работе [1] при оценке амплитуд полей в зоне токов и в излученном сигнале решались приближенные уравнения, получающиеся из уравнений Максвелла при пренебрежении в них пространственными производными. В рамках этого приближения учитываются лишь «локальные» возмущения внешнего поля в зоне токов и не учитываются эффекты распространения поля вместе с импульсом гамма-квантов из внутренних областей. От этого недостатка свободен подход, использованный в работе [2], где оценены амплитуда и временная зависимость возникающих полей, однако лишь на основе анализа решения некоторой модельной задачи. Не останавливаясь подробнее на преимуществах и недостатках, развитых в упомянутых работах приближенных методов оценки полей, отметим, что к настоящему времени не опубликовано решение задачи о возмущении магнитного поля источником гаммаизлучения в достаточно общей постановке, без каких-либо существенных упрощений.

Ниже описывается постановка задачи для численного интегрирования уравнений, описывающих возмущения, кратко излагается схема счета, приводятся и обсуждаются полученные количественные результаты.

2. Как и в работах [1, 2], возмущения магнитного поля под действием импульса гамма-квантов, испускаемого нестационарным изотропным источником в воздухе нормальной плотности, будем описывать системой уравнений

$$\begin{aligned}\text{rot } \mathbf{H} &= \frac{1}{c} \frac{\partial \mathbf{E}}{\partial t} + \frac{4\pi}{c} (\sigma \mathbf{E} + \mathbf{j}); \\ \text{rot } \mathbf{E} &= -\frac{1}{c} \frac{\partial \mathbf{H}}{\partial t},\end{aligned}$$

где \mathbf{E} и \mathbf{H} — электрическое и магнитное поля; σ — проводимость воз-

духа, развивающаяся под действием гамма-излучения; γ — составляющая плотности тока, возникающая вследствие закручивания комптоновских электронов в электромагнитном поле; c — скорость света. Плотность воздуха и невозмущенное магнитное поле H_0 считаем однородными в пределах объема, наиболее существенного для возбуждения излучающего сигнала.

Совершенно естественно, что нестационарный источник гамма-квантов нужно считать расположенным достаточно высоко над поверхностью земли, которая играет роль проводящей подстилающей поверхности.

В дальнейшем используем безразмерную координату $x=\mu r$ и время $y=\mu ct$ и, следуя [1], учитываем электронную проводимость воздуха

$$(2.1) \quad \sigma = e\omega\mu^3 v N \frac{e^{-x}}{4\pi x^2} r(y-x),$$

где безразмерная функция $r(y)$ находится из уравнения

$$(2.2) \quad \frac{dr}{dy} + \frac{\gamma}{\mu c} r = f(y); \quad r(0)=0.$$

При подсчете плотности тока учтем, что на комптоновский электрон, движущийся в среднем радиально, действует сила Лоренца $E+\frac{1}{c}[vH]$. В результате отклонения комптоновского электрона в магнитном и электрическом полях возникает поперечная компонента тока

$$(2.3) \quad j_\varphi = \frac{el}{\varepsilon} (E_\varphi + H\vartheta) j_r,$$

где

$$(2.4) \quad j_r = e\mu^4 l N c \frac{e^{-x}}{4\pi x^2} f(y-x)$$

— радиальная составляющая плотности тока комптоновских электронов. В соотношениях (2.1) — (2.4) $l=3$ м и $\mu^{-1}=250$ м — средний пробег комптоновского электрона и гамма-кванта; e , ω , γ , ϑ — соответственно заряд, подвижность, коэффициент прилипания вторичного электрона и число вторичных электронов, рождаемых одним комптоновским; N — полное число гамма-квантов, испущенных источником; ε — энергия комптоновского электрона; $f(y)$ — интенсивность источника в зависимости от времени $\left(\int_0^\infty f(y) dy = 1\right)$. Поведение источника во времени аппроксимируется зависимостью

$$f(y) = \frac{1}{I} \frac{ye^{\Omega y}}{A + \varepsilon^{(\Omega + \Delta)y}}; \quad I = \int_0^\infty \frac{ye^{\Omega y}}{A + \varepsilon^{(\Omega + \Delta)y}} dy; \quad \Omega, \Delta, A \text{ — const.}$$

В стадии возрастания эта зависимость приближенно описывает поведение источника, принятого в [3] ($e^{+\alpha t}$, где $\alpha=10^8$ с $^{-1}$), а в стадии затухания — принятого в [4, 5] ($e^{-\beta t}$, где $\beta=10^6$ с $^{-1}$). Таким образом, выбранная зависимость дает возможность единным образом описать все стадии процесса.

Введем новые функции H , h , \mathcal{E}

$$H_r(r, \vartheta, t) = H_0 \cdot H(x, y) \cos \vartheta;$$

$$H_\vartheta(r, \vartheta, t) = H_0 \frac{h(x, y)}{x} \sin \vartheta;$$

$$E_\varphi(r, \vartheta, t) = H_0 \frac{\mathcal{E}(x, y)}{x} \sin \vartheta$$

(использована сферическая система координат с осью z вдоль начального поля), удовлетворяющие уравнениям

$$(2.5) \quad \begin{aligned} \frac{\partial h}{\partial x} + H &= \frac{\partial \mathcal{E}}{\partial y} + [K + M]\mathcal{E} + Mh; \\ \frac{\partial \mathcal{E}}{\partial x} &= \frac{\partial h}{\partial y}; \quad \frac{2\mathcal{E}}{x^2} = -\frac{\partial H}{\partial y}; \\ K(x, y) &= k \frac{e^{-x}}{x^2} r(y - x), \quad k = \frac{e\omega\mu^2\nu N}{c}; \\ M(x, y) &= m \frac{e^{-x}}{x^2} f(y - x), \quad m = \frac{e^2 l^2 \mu^3 N}{\varepsilon}. \end{aligned}$$

В начальный момент $H(x, 0)=1$, $h(x, 0)=-x$, $\mathcal{E}(x, 0)=0$. Решение системы (2.5) будем искать в области $a \leq x \leq y$ ($a \ll 1$). Для обеспечения единственности решения потребуем выполнения граничных условий: при $x=a$, $\mathcal{E}(a, y)=0$, а при $x=y$, $\mathcal{E}+h=-x$ и $H=1$. Условие при $x \rightarrow 0$ соответствует задаче, в которой источник окружен идеально проводящей сферой малого радиуса a . Условия при $x=y$ состоят в непрерывности величин $E_\varphi + H_\vartheta$ и H_r на фронте возмущения, распространяющегося со скоростью света.

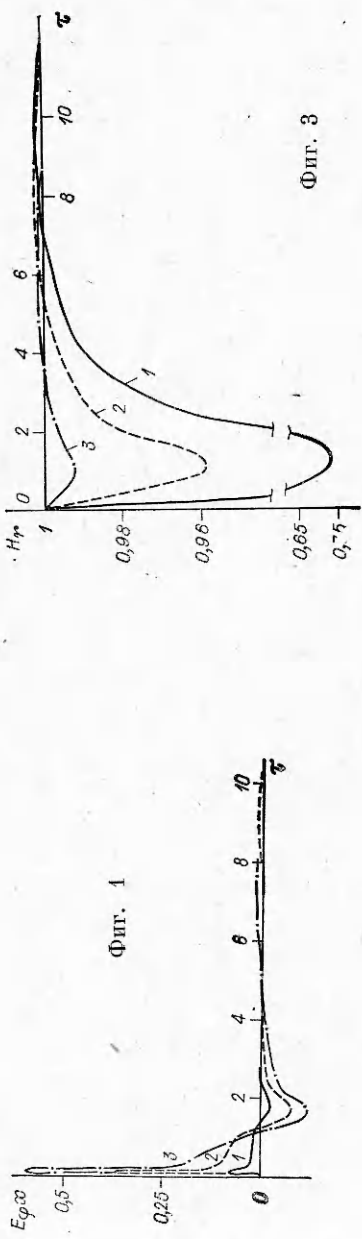
3. При численном решении* системы (2.5) использовалась прямоугольная сетка в полосе $a \leq x \leq 60$; $0 \leq t < \infty$ в плоскости (x, t) , где $t=y-x$. Уравнения решались методом прогонки по переменной x при каждом значении t . При решении использовалась устойчивая схема (это обстоятельство исследовалось особо), имеющая второй порядок аппроксимации по Δx и первый — по Δt .

Приведем результаты численного решения задачи. Конкретные расчеты выполнены для следующих значений безразмерных констант: $\Omega=250$, $\Delta=8,3$, $A=2,93 \cdot 10^9$, $a=0,01$ и при значениях констант $k=1,54 \cdot 10^5$, $m=80$.

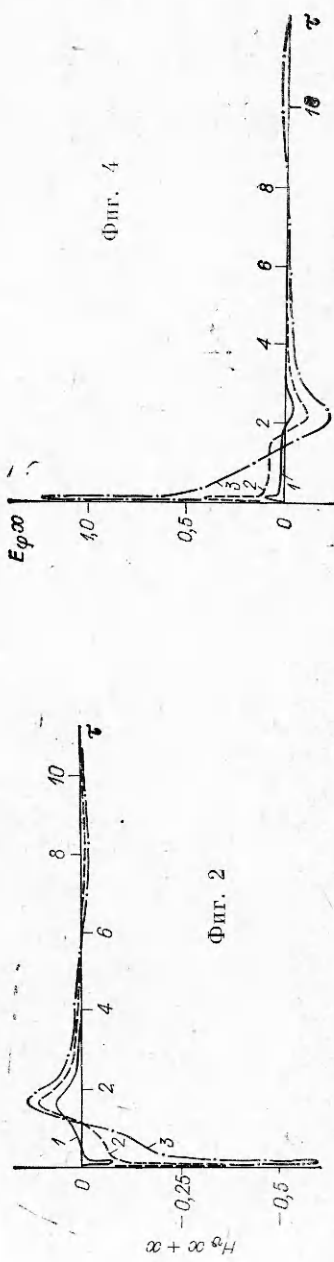
На фиг. 1—3 представлены временные зависимости компонент электромагнитного поля E_φ , ΔH_ϑ , H_r соответственно. Различные кривые соответствуют различным расстояниям от источника 1 — $x=0,4$, 2 — $x=2$, 3 — $x=6$. Дальнейшее увеличение x не приводит к изменению временной зависимости полей, и это свидетельствует о том, что волновой сигнал здесь уже сформировался. Помимо значений констант $k=1,54 \cdot 10^5$ и $m=80$ при расчетах полей использовались значения $k=1,54 \cdot 10^7$ и $m=8 \cdot 10^3$, соответствующие стократному увеличению активности источника. Результаты представлены на фиг. 4—6.

4. Обсудим полученные результаты. Основные физические особенности поведения полей были выяснены при анализе решения модельных задач в работе [2]. Интересно сопоставление качественных результатов, полученных в этой работе, с точными зависимостями, приведенными в п. 3. Как видно из фиг. 1, 2, 4, 5, на больших расстояниях от источника (фактически вне зоны токов) величина $E_\varphi(t)$ совпадает с величиной $-\Delta H^\vartheta(t)$ на протяжении длительности всего сигнала. Это свойство присуще любым

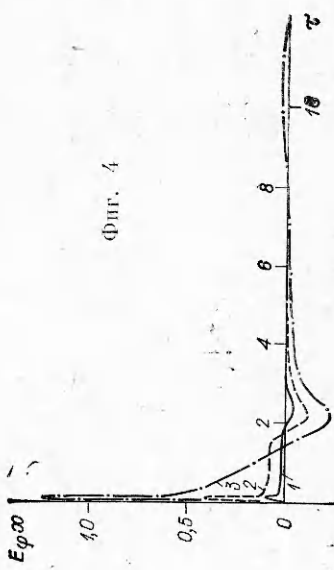
* Основные идеи схемы численного интегрирования принадлежат А. А. Миллютину и Е. И. Динабургу.



Фиг. 3



Фиг. 4



электромагнитным сигналам в волновой зоне, однако в рассматриваемом случае оно имеет место для полей на фронте сигналов и в зоне токов, что нетривиально. Причиной, приводящей к равенству

$$(4.1) \quad E_\varphi + \Delta H_\vartheta = 0$$

для волновых полей, является «поперечность» электромагнитных волн, т. е. малость величины продольных компонент полей по сравнению с поперечными. Можно заметить, что свойство «поперечности» присущее полям на фронте импульса и в зоне токов, что следует непосредственно из результатов численного интегрирования. Действительно, в начальные моменты времени ($\tau \leq 0,1 \div 0,2$) величины компонент E_φ и ΔH_ϑ

достигают, например, на расстоянии $x=0,4$ значения $\approx 0,2H_0$, в то время как в той же точке $\Delta H_r \approx 0,03 H_0$. В более поздние моменты времени ($\tau \geq 0,5 \div 1,0$ в зоне токов ($x \leq 1$)) сравниваются величины компонент поля E_φ , ΔH_ϑ и H_r , при этом соотношение (4.1) не имеет места. Используя (4.1) и малость величины ΔH_r , можно существенно упростить систему (2.5) и получить ряд довольно общих соотношений, например, для электрического поля. Можно показать, что в момент достижения максимума потока гамма-квантов электрическое поле также максимально, причем его зависимость от координаты $r = \mu^{-1}x$ имеет вид

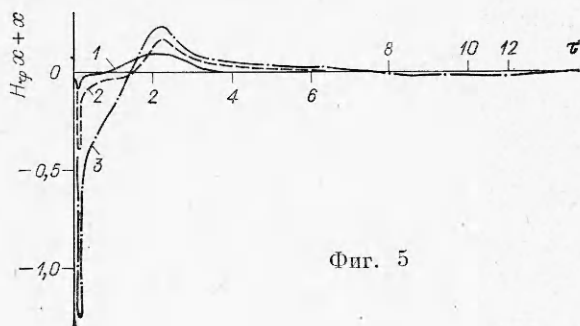
$$(4.2) \quad E = \frac{H_0 \Lambda}{x} \approx \int_0^x \exp \left(-\kappa \int_{-x'}^x \frac{e^{-x''}}{(x'')^2} dx'' \right) \frac{e^{-x'}}{x'} dx',$$

где $\Lambda = K/M$, а $\kappa = \frac{k\mu c}{2\gamma} f_{\max}$ — безразмерный коэффициент, величина которого в вариантах с приведенными результатами вычисления составляет $\approx 10^4 \div 10^6$. Поэтому в зоне токов экспонента в подынтегральном выражении отлична от нуля лишь при x' , достаточно близких к x . Заменим

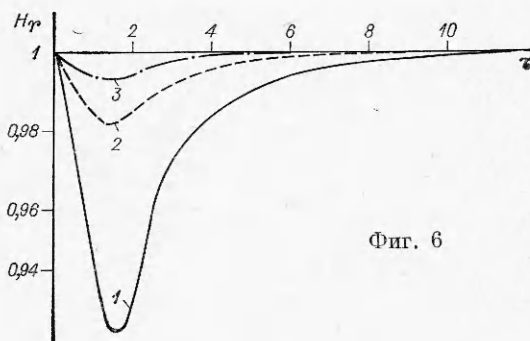
$$\kappa \int_{x'}^x \frac{e^{-x''}}{(x'')^2} dx'' \approx \kappa (x - x') \frac{e^{-x}}{x},$$

тогда из (4.2) следует

$$(4.3) \quad E \approx H_0 \Lambda.$$



Фиг. 5



Фиг. 6

Эта оценка весьма приближенная, однако позволяет сделать вывод о том, 10 ПМТФ, № 2, 1975

что амплитуда электрического поля в ближней зоне слабо меняется с изменением расстояния и активности источника.

Если обратиться к результатам численного интегрирования системы, то можно заметить, что при увеличении активности источника на два порядка амплитуда электрического поля на фронте импульса, например при $x=0,4$, меняется от $\approx 0,19 H_0$ до $\approx 0,22 H_0$. При постоянной активности источника при изменении x в пределах $0,4 \div 2,0$ электрическое поле меняется от $0,19 H_0$ до $0,18 H_0$ (см. фиг. 1). При дальнейшем увеличении x , когда электромагнитный импульс выходит из зоны токов, изменения поля становятся гораздо существеннее. Применительно к полю выражение (5.2) при $x \ll i$, когда $\kappa e^{-x} < 1$, можно записать в виде

$$(4.4) \quad E \approx \frac{H_0 \Lambda}{x} \kappa \int_0^\infty \exp \left[-\kappa \int_{x'}^\infty \frac{e^{x''}}{(x'')^2} dx'' \right] \frac{e^{-x'}}{x'} dx'.$$

Из (4.4) следует, что амплитуда поля вне зоны токов должна убывать обратно пропорционально расстоянию. Численные расчеты подтверждают, что при изменении x от 6 до 10 величина $E_\varphi x$ практически остается неизмененной (см. фиг. 1, 4).

Что касается абсолютной величины поля в зоне токов, то, как следует из (4.3), она определяется величиной $\Lambda = M/K \approx 5 \cdot 10^{-2}$, что согласуется с результатами численного расчета.

Перейдем к волновому полю. Прежде всего отметим совпадение общего характера изменения поля излучения, предсказанного в [2] и полученного в результате численных расчетов. Действительно, излученный сигнал имеет три полупериода: амплитудное значение поля в первом полупериоде большие, чем во втором, а во втором — большие, чем в третьем. Длительность фронтового импульса поля (на уровне 0,5 от максимального значения) примерно соответствует характерной длительности действия $t \approx 0,06$ для источников любой интенсивности (изменяющейся при расчетах на два порядка), что согласуется с результатами работы [2]. Амплитуда поля при увеличении активности в 100 раз увеличивается примерно вдвое (см. фиг. 1, 4), что соответствует найденной в [2] логарифмической зависимости амплитуды от активности источника. Характерная длительность полупериодов сигнала составляет величину (в безразмерных единицах τ) порядка нескольких единиц, что непосредственно связано с характерным размером источника (который в данном случае также составляет несколько единиц). Заметим, что при численном интегрировании в одном из вариантов длина пробега гамма-квантов была увеличена вдвое, при этом вдвое увеличивались длительности второго и третьего полупериодов сигнала. Таким образом, можно констатировать удовлетворительность физической картины возмущения магнитного поля, приведенной в [2]. Совокупность результатов данной работы [2] можно, по-видимому, рассматривать как полное описание явления возмущения поля источником гамма-квантов в воздухе нормальной плотности.

Поступила 15 IV 1974

ЛИТЕРАТУРА

1. Karzas W. J., Latter R. The Electromagnetic Signal due to the interaction of Nuclear Explosion with Earth's Magnetic Field. J. Geoph. Res., 1962, v. 67, N 12.
2. Медведев Ю. А., Степанов Б. М., Федорович Г. В. Радиоизлучение нестационарным источником гамма-квантов, сопровождающее возмущение геомагнитного поля. Геомагн. и аэроном. 1972, т. 12, № 2.
3. Karzas W. J., Latter R. Electromagnetic radiation from a nuclear explosion in Space. Phys. Rev., 1962, v. 126, N 6.
4. Компанеец А. С. Радиоизлучение атомного взрыва.— ЖЭТФ, 1958, т. 35, № 6.
5. Gilinsky V. Kompaneets Model for Radio Emission from a Nuclear Explosion. Phys. Rev., 1965, v. 137, N 1A.